

Диффузионные модели, восстановление изображений через обратные линейные задачи

Тингир Бадмаев

18 марта 2022

Вернуть утраченное — да, возможно,
сохранить то, что есть, — любой ценой

Тони Старк, *Мстители: Финал*

- Linear Inverse Problems

$$\begin{aligned} y &= Hx + z, \\ x &\in \mathbb{R}^n, \quad y \in \mathbb{R}^m, \quad H \in \mathbb{R}^{m \times n} \\ z &\sim \mathcal{N}(0, \sigma_y^2 I) \end{aligned}$$

- Supervised решения** - обучить модель на парах $(x_i, y_i)_{i=1}^N$

$$x_\theta = f_\theta(y)$$

- Unsupervised решения** - моделировать апостериорное распределение

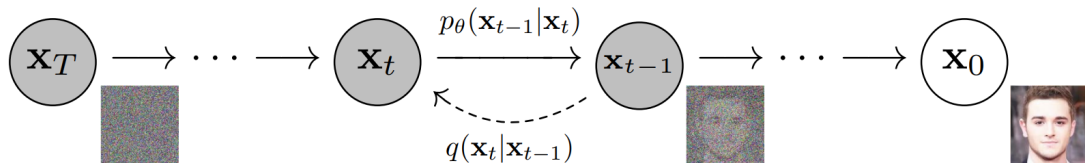
$$p_\theta(x|y) \approx p(x|y) \propto p_{data}(x)p(y|x).$$

Один из подходов использовать нейросеть для предсказания score функции и динамику Ланжевена

$$x_{t+1} = x_t + \alpha \nabla_{x_t} \log p_\theta(x_t|y) + \sqrt{2\alpha} z_t, \quad z_t \sim \mathcal{N}(0, I)$$

DDPM, зашумление

- Общая схема



- Зашумление данных

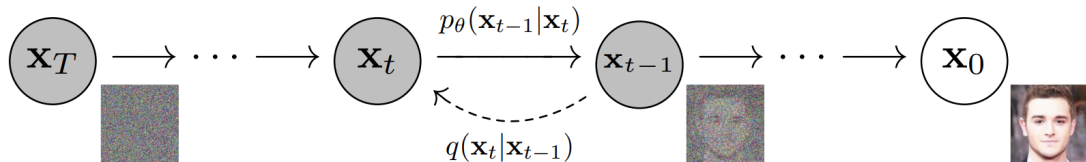
$$q(x_{1:T}|x_0) = \prod_{t=1}^T q(x_t|x_{t-1}), \quad q(x_t|x_{t-1}) = \mathcal{N}(x_t; \sqrt{1 - \beta_t}x_{t-1}, \beta_t I)$$

- Зашумление на несколько шагов

$$q(x_t|x_0) = \mathcal{N}(x_t; \sqrt{\bar{\alpha}_t}x_0, (1 - \bar{\alpha}_t)I), \quad \alpha_t = 1 - \beta_t, \quad \bar{\alpha}_t = \prod_{s=1}^t \alpha_s$$

DDPM, удаление шума

- Общая схема



- Удаление шума

$$p_\theta(x_{0:T}) = p(x_T) \prod_{t=1}^T p_\theta(x_{t-1}|x_t), \quad p_\theta(x_T) = \mathcal{N}(x_T; 0, I)$$

$$p_\theta(x_{t-1}|x_t) = \mathcal{N}(x_{t-1}; \mu_\theta(x_t, t), \Sigma_\theta(x_t, t))$$

- Зашумление данных

$$q(x_{1:T}|x_0) = \prod_{t=1}^T q(x_t|x_{t-1}), \quad q(x_t|x_{t-1}) = \mathcal{N}(\mathbf{x}_t; \sqrt{1 - \beta_t}x_{t-1}, \beta_t I)$$

- По формуле Байеса:

$$q(x_{t+1}|x_t, x_0) = \frac{q(x_t|x_{t+1}, x_0)q(x_{t+1}|x_0)}{q(x_t|x_0)}$$

$$\begin{aligned} q(x_{1:T}|x_0) &= q(x_1|x_0) \prod_{t=1}^{T-1} q(x_{t+1}|x_t, x_0) = q(x_1|x_0) \prod_{t=1}^{T-1} \frac{q(x_t|x_{t+1}, x_0)q(x_{t+1}|x_0)}{q(x_t|x_0)} \\ &= q(x_T|x_0) \prod_{t=1}^{T-1} q(x_t|x_{t+1}, x_0) \end{aligned}$$

- Удаление шума

$$p_\theta(x_{0:T}) = p(x_T) \prod_{t=0}^{T-1} p_\theta(x_t|x_{t+1})$$

- ELBO

$$\mathbb{E}_{q(x_{0:T})} \left[D_{KL}(q(x_T|x_0)||p_\theta(x_T)) + \sum_{t=1}^{T-1} D_{KL}(q(x_t|x_{t+1}, x_0)||p_\theta(x_t|x_{t+1})) - \log p_\theta(x_0|x_1) \right]$$

Схема семплирования в DDPM с помощью репараметризации

- Процесс зашумления и денойзинга
 - $q(x_{1:T}|x_0) = q(x_T|x_0) \prod_{t=1}^{T-1} q(x_t|x_{t+1}, x_0)$
 - $p_\theta(x_{0:T}) = p(x_T) \prod_{t=0}^{T-1} p_\theta(x_t|x_{t+1})$
- Репараметризация для вар. вывода DDPM
 - Вспомним, что:

$$x_t(x_0, \epsilon) = \sqrt{\bar{\alpha}_t}x_0 + \sqrt{1 - \bar{\alpha}_t}\epsilon, \quad \epsilon \sim \mathcal{N}(0, I)$$
$$x_0 = \frac{1}{\sqrt{\bar{\alpha}_t}} (x_t(x_0, \epsilon) - \sqrt{1 - \bar{\alpha}_t}\epsilon)$$

- Тогда ELBO и предсказанное x_0 из момента времени $t + 1$ выглядят:

$$\mathcal{L}_t = \mathbb{E}_q [D_{KL}(q(x_t|x_{t+1}, x_0, y) || p_\theta(x_t|x_{t+1}, y))]$$
$$x_{\theta,t} = \frac{1}{\sqrt{\bar{\alpha}_{t+1}}} (x_{t+1} - \sqrt{1 - \bar{\alpha}_{t+1}}\epsilon_\theta(x_{t+1}, t + 1))$$
$$\mathcal{L}_t = \mathbb{E}_{q,\epsilon} \left[\frac{\beta_{t+1}^2}{2\sigma_{t+1}^2 \alpha_{t+1} (1 - \bar{\alpha}_{t+1})} \|\epsilon - \epsilon_\theta(x_{t+1}, t + 1)\|^2 \right]$$

- Цепочка - $x_T \xrightarrow{\theta} x_{\theta,T-1} \xrightarrow{q_{T-1}} x_{T-1} \xrightarrow{\theta} \dots \xrightarrow{\theta} x_{\theta,0} = x_0$

- Зашумление данных

$$q(x_{1:T}|x_0, y) = q(x_T|x_0, y) \prod_{t=1}^{T-1} q(x_t|x_{t+1}, x_0, y)$$

- Удаление шума

$$p_\theta(x_{0:T}|y) = p(x_T|y) \prod_{t=0}^{T-1} p_\theta(x_t|x_{t+1}, y)$$

- ELBO

$$\begin{aligned} & \mathbb{E}_{q(x_{0:T})} [D_{KL}(q(x_T|x_0, y) || p_\theta(x_T|y))] \\ & + \sum_{t=1}^{T-1} D_{KL}(q(x_t|x_{t+1}, x_0, y) || p_\theta(x_t|x_{t+1}, y)) - \log p_\theta(x_0|x_1, y) \end{aligned}$$

SVD для перехода в другую систему координат

- **SVD.** Для матриц $H \in \mathbb{R}^{m \times n}$ выполнено, что $H = U\Sigma V^T$, где $U \in \mathbb{R}^{m \times m}$, $V \in \mathbb{R}^{n \times n}$ ортогональные матрицы, $\Sigma \in \mathbb{R}^{m \times n}$ прямоугольная диагональная матрица с числами $(s_1, s_2, \dots, s_k, 0, 0, \dots, 0)$, $s_1 \geq s_2 \geq s_3 \geq \dots \geq s_k > 0$ на главной диагонали, $k \leq \min(n, m)$.
- **Псевдообратной матрицей** для Σ назовем матрицу $\Sigma^+ \in \mathbb{R}^{n \times m}$, у которой на главной диагонали стоят числа $(1/s_1, 1/s_2, \dots, 1/s_k, 0, 0, \dots, 0)$.
- SVD преобразование для линейной обраной задачи

$$\begin{aligned}y &= Hx_0 + z, z \sim \mathcal{N}(0, \sigma_y^2 I), \\H &= U\Sigma V^T, \\\bar{x}_t^i &= (V^T x_t)^i, \bar{y}^i = (\Sigma^+ U^T y)^i, \\\bar{y} &= \Sigma^+ U^T y = V^T x_0 + \Sigma^+ U^T z = \bar{x}_0 + \Sigma^+ U^T z, \\\bar{y}^i &\sim \mathcal{N}(\bar{x}_0^i, \frac{\sigma_y^2}{s_i^2}), \text{ если } s_i > 0.\end{aligned}$$

Диффузия в новой системе координат

- Зашумление данных

$$q(\bar{x}_{1:T}|x_0, y) = q(\bar{x}_T|x_0, y) \prod_{t=1}^{T-1} q(\bar{x}_t|x_{t+1}, x_0, y)$$

- Удаление шума

$$p_\theta(\bar{x}_{0:T}|y) = p(\bar{x}_T|y) \prod_{t=0}^{T-1} p_\theta(\bar{x}_t|x_{t+1}, y)$$

- ELBO

$$\begin{aligned} & \mathbb{E}_{q(\bar{x}_{0:T})} [D_{KL}(q(\bar{x}_T|x_0, y) || p_\theta(\bar{x}_T|y)) \\ & + \sum_{t=1}^{T-1} D_{KL}(q(\bar{x}_t|x_{t+1}, x_0, y) || p_\theta(\bar{x}_t|x_{t+1}, y)) - \log p_\theta(\bar{x}_0|x_1, y) \end{aligned}$$

Построение вариационного вывода для семплирования DDRM I

- Процесс зашумления

$$q(\bar{x}_{1:T}|x_0, y) = q(\bar{x}_T|x_0, y) \prod_{t=1}^{T-1} q(\bar{x}_t|x_{t+1}, x_0, y)$$

- Зафиксируем переходы для апостериорных распределений:

$$q(\bar{x}_T^i|x_0, y) = \begin{cases} \mathcal{N}(\bar{y}^i, \sigma_T^2 - \frac{\sigma_y^2}{s_i^2}), & \text{если } s_i > 0, \\ \mathcal{N}(\bar{x}_0^i, \sigma_T^2), & \text{если } s_i = 0. \end{cases}$$

$$q(\bar{x}_t^i|x_{t+1}, x_0, y) = \begin{cases} \mathcal{N}(\bar{x}_0^i(1 - \eta_b) + \eta_b \bar{y}^i, \sigma_t^2 - \frac{\sigma_y^2}{s_i^2} \eta_b^2), & \text{если } s_i > 0 \text{ и } \sigma_t \geq \frac{\sigma_y}{s_i}, \\ \mathcal{N}(\bar{x}_0^i + \sqrt{1 - \eta^2} \sigma_t \frac{\bar{y}^i - \bar{x}_0^i}{\sigma_y/s_i}, \eta^2 \sigma_t^2), & \text{если } s_i > 0 \text{ и } \sigma_t < \frac{\sigma_y}{s_i}, \\ \mathcal{N}(\bar{x}_0^i + \sqrt{1 - \eta^2} \sigma_t \frac{\bar{x}_{t+1}^i - \bar{x}_0^i}{\sigma_{t+1}}, \eta^2 \sigma_t^2), & \text{если } s_i = 0. \end{cases},$$

где $\eta, \eta_b \in (0; 1]$.

- Процесс зашумления

$$q(\bar{x}_{1:T}|x_0, y) = q(\bar{x}_T|x_0, y) \prod_{t=1}^{T-1} q(\bar{x}_t|x_{t+1}, x_0, y)$$

- Какая тогда динамика для зашумления из 0 момента в момент t ?

Предположение:

$$q(x_t|x_0) = \mathcal{N}(x_0, \sigma_t^2 I)$$



$$q(\bar{x}_t|x_0) = \mathcal{N}(\bar{x}_0, \sigma_t^2 I), \text{ потому что}$$

$$\bar{x}_t = V^T x_t,$$

$x_t = V \bar{x}_t$, V - ортогональная матрица и
у всех координат вектора дисперсия σ_t^2 .

- Hints:

- $p(z_1|z_0) = \mathcal{N}(z_0, V_1), p(z_2|z_1) = \mathcal{N}(\alpha z_1, V_2) \rightarrow p(z_2|z_0) = \mathcal{N}(\alpha z_0, \alpha^2 V_1 + V_2)$
- $p(z_1) = \mathcal{N}(\mu_1, V_1), p(z_2) = \mathcal{N}(\mu_2, V_2) \rightarrow p(z_1 + z_2) = \mathcal{N}(\mu_1 + \mu_2, V_1 + V_2)$
- $\bar{y}^i \sim q(\bar{y}^i|x_0) = \mathcal{N}(\bar{x}_0^i, \frac{\sigma_y^2}{s_i^2})$, если $s_i > 0$, и $\bar{y}^i = \bar{x}_0^i$, если $s_i = 0$

- Докажем для момента времени T предположение о $q(\bar{x}_T^i|x_0)$

- $s_i = 0$ и $q(\bar{x}_T^i|x_0, y) = \mathcal{N}(\bar{x}_0^i, \sigma_T^2)$ - выполнено по построению
 $\bar{y}^i = \bar{x}_0^i$ и $q(\bar{x}_T^i|x_0) = q(\bar{x}_T^i|x_0, y)$
- $s_i > 0$ и $q(\bar{x}_T^i|x_0, y) = \mathcal{N}(\bar{y}^i, \sigma_T^2 - \frac{\sigma_y^2}{s_i^2})$

$$\text{По Hint-1 } q(\bar{x}_T^i|x_0) = \mathcal{N}(1 * \bar{x}_0^i, 1 * 1 * \frac{\sigma_y^2}{s_i^2} + \sigma_T^2 - \frac{\sigma_y^2}{s_i^2}) = \mathcal{N}(\bar{x}_0^i, \sigma_T^2)$$

- Hints:

- $p(z_1|z_0) = \mathcal{N}(z_0, V_1), p(z_2|z_1) = \mathcal{N}(\alpha z_1, V_2) \rightarrow p(z_2|z_0) = \mathcal{N}(\alpha z_0, \alpha^2 V_1 + V_2)$
- $p(z_1) = \mathcal{N}(\mu_1, V_1), p(z_2) = \mathcal{N}(\mu_2, V_2) \rightarrow p(z_1 + z_2) = \mathcal{N}(\mu_1 + \mu_2, V_1 + V_2)$
- $\bar{y}^i \sim q(\bar{y}^i|x_0) = \mathcal{N}(\bar{x}_0^i, \frac{\sigma_y^2}{s_i^2})$, если $s_i > 0$, и $\bar{y}^i = \bar{x}_0^i$, если $s_i = 0$

- Докажем для момента времени $t < T$ предположение о $q(\bar{x}_t^i|x_0)$

- $s_i > 0, \sigma_t \geq \frac{\sigma_y}{s_i}$, и $q(\bar{x}_t^i|x_{t+1}, x_0, y) = \mathcal{N}(\bar{x}_0^i(1 - \eta_b) + \eta_b \bar{y}^i, \sigma_t^2 - \frac{\sigma_y^2}{s_i^2} \eta_b^2)$.

В подсчете плотности мы не используем x_{t+1} , тогда можем убрать из условия x_{t+1} . С помощью Hint-1 посчитаем распределение $\eta_b \bar{y}|x_0$ и с помощью Hint-2 посчитаем $q(\bar{x}_t|x_0)$.

$$\begin{aligned}\text{Среднее} &= \bar{x}_0^i(1 - \eta_b) + \eta_b \bar{x}_0^i = \bar{x}_0^i, \\ \text{Дисперсия} &= \sigma_t^2 - \frac{\sigma_y^2}{s_i^2} \eta_b^2 + \frac{\sigma_y^2}{s_i^2} \eta_b^2 = \sigma_t^2.\end{aligned}$$

- Hints:

- $p(z_1|z_0) = \mathcal{N}(z_0, V_1), p(z_2|z_1) = \mathcal{N}(\alpha z_1, V_2) \rightarrow p(z_2|z_0) = \mathcal{N}(\alpha z_0, \alpha^2 V_1 + V_2)$
- $p(z_1) = \mathcal{N}(\mu_1, V_1), p(z_2) = \mathcal{N}(\mu_2, V_2) \rightarrow p(z_1 + z_2) = \mathcal{N}(\mu_1 + \mu_2, V_1 + V_2)$
- $\bar{y}^i \sim q(\bar{y}^i|x_0) = \mathcal{N}(\bar{x}_0^i, \frac{\sigma_y^2}{s_i^2})$, если $s_i > 0$, и $\bar{y}^i = \bar{x}_0^i$, если $s_i = 0$

- Докажем для момента времени $t < T$ предположение о $q(\bar{x}_t^i|x_0)$

- $s_i > 0, \sigma_t < \frac{\sigma_y}{s_i}$, и $q(\bar{x}_t^i|x_{t+1}, x_0, y) = \mathcal{N}(\bar{x}_0^i + \sqrt{1 - \eta^2} \sigma_t \frac{\bar{y}^i - \bar{x}_0^i}{\sigma_y/s_i}, \eta^2 \sigma_t^2)$.

В подсчете плотности мы не используем x_{t+1} , тогда можем убрать из условия x_{t+1} . С помощью Hint-1 посчитаем распределение для $\sqrt{1 - \eta^2} \sigma_t \frac{\bar{y}^i - \bar{x}_0^i}{\sigma_y/s_i}|x_0$ и с помощью Hint-2 посчитаем $q(\bar{x}_t|x_0)$.

$$\begin{aligned}\text{Среднее} &= \bar{x}_0^i + \sqrt{1 - \eta^2} \sigma_t \frac{\bar{x}_0^i - \bar{x}_0^i}{\sigma_y/s_i} = \bar{x}_0^i, \\ \text{Дисперсия} &= \eta^2 \sigma_t^2 + (1 - \eta^2) \sigma_t^2 = \sigma_t^2.\end{aligned}$$

- Hints:

- $p(z_1|z_0) = \mathcal{N}(z_0, V_1), p(z_2|z_1) = \mathcal{N}(\alpha z_1, V_2) \rightarrow p(z_2|z_0) = \mathcal{N}(\alpha z_0, \alpha^2 V_1 + V_2)$
- $p(z_1) = \mathcal{N}(\mu_1, V_1), p(z_2) = \mathcal{N}(\mu_2, V_2) \rightarrow p(z_1 + z_2) = \mathcal{N}(\mu_1 + \mu_2, V_1 + V_2)$
- $\bar{y}^i \sim q(\bar{y}^i|x_0) = \mathcal{N}(\bar{x}_0^i, \frac{\sigma_y^2}{s_i^2})$, если $s_i > 0$, и $\bar{y}^i = \bar{x}_0^i$, если $s_i = 0$

- Докажем для момента времени $t < T$ предположение о $q(\bar{x}_t^i|x_0)$

- $s_i = 0$, и $q(\bar{x}_t^i|x_{t+1}, x_0, y) = \mathcal{N}(\bar{x}_0^i + \sqrt{1 - \eta^2} \sigma_t \frac{\bar{x}_{t+1}^i - \bar{x}_0^i}{\sigma_{t+1}}, \eta^2 \sigma_t^2)$.

Докажем по индукции, что $q(\bar{x}_t^i|x_0) = \mathcal{N}(\bar{x}_0^i, \sigma_t^2)$, если $s_i = 0$.

База - для момента времени $t = T$ предположение выполнено. Допустим, что $q(\bar{x}_{t+1}^i|x_0) = \mathcal{N}(\bar{x}_0^i, \sigma_{t+1}^2)$, докажем для $q(\bar{x}_t^i|x_0)$.

Доказательство аналогично двум предыдущим случаям. Теперь условная вероятность не зависит от y , поскольку $s_i = 0$, в спектральном пространстве, в котором мы делаем диффузию в векторе \bar{y} нет информации о i -ой компоненте, поэтому опускаем условие. Повторяем рассуждения о среднем и дисперсии с помощью Hint-1, Hint-2.

- Удаление шума

$$p_{\theta}(\bar{x}_{0:T}|y) = p(\bar{x}_T|y) \prod_{t=0}^{T-1} p_{\theta}(\bar{x}_t|x_{t+1}, y)$$

- Для DDRM процесс денойзинга будет выглядеть:

$$p(\bar{x}_T^i|y) = \begin{cases} \mathcal{N}(\bar{y}^i, \sigma_T^2 - \frac{\sigma_y^2}{s_i^2}), & \text{если } s_i > 0, \\ \mathcal{N}(0, \sigma_T^2), & \text{если } s_i = 0. \end{cases}$$

$$p(\bar{x}_t^i|x_{t+1}, y) = \begin{cases} \mathcal{N}(\bar{x}_{\theta,t}^i(1 - \eta_b) + \eta_b \bar{y}^i, \sigma_t^2 - \frac{\sigma_y^2}{s_i^2} \eta_b^2), & \text{если } s_i > 0 \text{ и } \sigma_t \geq \frac{\sigma_y}{s_i}, \\ \mathcal{N}(\bar{x}_{\theta,t}^i + \sqrt{1 - \eta^2} \sigma_t \frac{\bar{y}^i - \bar{x}_{\theta,t}^i}{\frac{\sigma_y}{s_i}}, \eta^2 \sigma_t^2), & \text{если } s_i > 0 \text{ и } \sigma_t < \frac{\sigma_y}{s_i}, \\ \mathcal{N}(\bar{x}_{\theta,t}^i + \sqrt{1 - \eta^2} \sigma_t \frac{\bar{x}_{t+1}^i - \bar{x}_{\theta,t}^i}{\sigma_{t+1}}, \eta^2 \sigma_t^2), & \text{если } s_i = 0. \end{cases}$$

Вар. вывод DDRM VIII, алгоритм семплирования

- Получить $\bar{x}_T \sim p(\bar{x}_T|y)$ - семплировать с помощью y , если можем ($s_i > 0$)
- Определить x_T - по правилу $x_t = V\bar{x}_t$
- Получить $x_{\theta, T-1}$ с помощью DDPM - предсказать x_0 из момента времени T
- Перевести $x_{\theta, T-1}$ в $\bar{x}_{\theta, T-1}$ - перейти в спектральное пространство, чтобы зашумлять используя y
- Зашумить $\bar{x}_{\theta, T-1}$ с помощью $q(\bar{x}_t|x_{t+1}, x_t, y)$ - получим \bar{x}_{T-1}
- Перевести обратно в пространство пикселей и получить x_{T-1}
- Повторить процесс с 3 пункта, если не дошли до времени $t = 0$

Таким образом, мы получили итерационный процесс на основе диффузионных моделей(которые можно ускорять!), который на каждом шаге обновляет наш объект с учетом информации из y , если это возможно. Поскольку изначально перед нами стояла задача восстановления картинок, мы хотим как можно лучше сохнить имеющуюся информацию.

Есть две прямые динамики зашумления

Возникает вопрос - а как это мы используем DDPM, хотя наша новая построенная динамика для семплирования в пространстве пикселей использует правило перехода $q(x_t|x_0) \sim \mathcal{N}(x_t|x_0, \sigma_t^2 I)$?

- NCSN подход с $q(x_t|x_0) \sim \mathcal{N}(x_t|x_0, \sigma_t^2 I)$
- DDPM подход с $q(x_t|x_0) \sim \mathcal{N}(x_t|\sqrt{\bar{\alpha}_t}x_0, (1 - \bar{\alpha}_t)I)$

На самом деле после этапа обучения две динамики эквивалентны.

$$\begin{aligned}x_t &= x_0 + \sigma_t \epsilon \\ \textcolor{blue}{x}_t &= \sqrt{\bar{\alpha}_t}x_0 + \sqrt{1 - \bar{\alpha}_t}\epsilon \\ \frac{x_t}{\sqrt{1 + \sigma_t^2}} &= \frac{x_0}{\sqrt{1 + \sigma_t^2}} + \frac{\sigma_t}{\sqrt{1 + \sigma_t^2}}\epsilon \\ \alpha_t &= 1/(1 + \sigma_t^2), \textcolor{blue}{x}_t = x_t/\sqrt{1 + \sigma_t^2}\end{aligned}$$

Примеры линейных операторов с $O(n)$ памятью

- **Денойзинг.** Тогда линейный оператор $H = I$, и его SVD разложение U, Σ, V^T - это единичные матрицы, хранить которые мы можем за $O(n)$ памяти.
- **Закраска.** В данном случае $H = I\Sigma P^T$, где P - матрица перестановки, Σ матрица размера $k \times n$, с единицами на главной диагонали, где n - общее число пикселей, k - число незамаскированных пикселей. Матрицу перестановки мы можем хранить за $O(n)$ памяти.
- **Повышение разрешения картинки.** (на след. слайде)
- **Колоризация.** (аналогично увеличению разрешения)

Примеры линейных операторов с $O(n)$ памятью

- Повышение разрешения картинки.

Посмотрим на модельный пример для матрицы размера 4×4 , мы хотим уменьшить её в размере в 2 раза по обеим сторонам. Вытянем матрицу в вектор x длины 16.

Наше ядро H будет выглядеть следующим образом:

$$H = \begin{pmatrix} \frac{1}{4} & \frac{1}{4} & \frac{1}{4} & \frac{1}{4} & 0 & 0 & 0 & 0 & 0 & 0 & 0 & 0 & 0 & 0 & 0 & 0 \\ 0 & 0 & 0 & 0 & \frac{1}{4} & \frac{1}{4} & \frac{1}{4} & \frac{1}{4} & 0 & 0 & 0 & 0 & 0 & 0 & 0 & 0 \\ 0 & 0 & 0 & 0 & 0 & 0 & 0 & 0 & \frac{1}{4} & \frac{1}{4} & \frac{1}{4} & \frac{1}{4} & 0 & 0 & 0 & 0 \\ 0 & 0 & 0 & 0 & 0 & 0 & 0 & 0 & 0 & 0 & 0 & 0 & \frac{1}{4} & \frac{1}{4} & \frac{1}{4} & \frac{1}{4} \end{pmatrix} P,$$

где P это матрица перестановки, которая первый патч(левый верхний угол) переводит в первые 4 элемента, второй патч(правый верхний угол) во вторые 4 элемента вектора x и т.д.. Тогда u имеет размерность 4, что соответствует low-res. картинке.

Примеры линейных операторов с $O(n)$ памятью

- Повышение разрешения картинки.

Нам понадобится произведение Кронекера:

$$A \otimes B = \begin{bmatrix} a_{11}B & \cdots & a_{1n}B \\ \vdots & \ddots & \vdots \\ a_{m1}B & \cdots & a_{mn}B \end{bmatrix}.$$

$y^i = (Hx)^i = k^T p^i$, где k - вектор размера r^2 со значениями $\frac{1}{r^2}$, p^i векторизованный i -ый патч размера $r \times r$. Тогда

$$H = (I \otimes k^T)P, \\ H \in \mathbb{R}^{\frac{n}{r^2} \times n}, I \in \mathbb{R}^{\frac{n}{r^2} \times \frac{n}{r^2}}, k^T \in \mathbb{R}^{1 \times r^2}, P \in \mathbb{R}^{n \times n}.$$

- Повышение разрешения картинки.

Разложим вектор $k^T = U_k \Sigma_k V_k^T$, по свойству кронекерова произведения:

$$H = (I \otimes k^T)P = ((III) \otimes (U_k \Sigma_k V_k^T))P = (I \otimes U_k)(I \otimes \Sigma_k)(I \otimes V_k^T)P,$$
$$U_k \in \mathbb{R}^{1 \times 1}, \Sigma_k \in \mathbb{R}^{1 \times r^2}, V_k^T \in \mathbb{R}^{r^2 \times r^2}.$$

$I \otimes U_k$ диагональная матрица с элементами либо всеми 1, либо всеми -1. В Σ_k ровно один ненулевой элемент и это вектор-строка. Тогда в матрице $I \otimes \Sigma_k$ в каждой строке(столбце $\frac{n}{r^2}$) будет ровно один ненулевой элемент равный сингулярному числу.

Самый большой интерес представляет матрица $I \otimes V_k^T$, она будет иметь блочно-диагональный вид. Блоки на главной диагонали будут матрицами V_k , все остальные блоки равны \mathbb{O} . Т. о., мы храним матрицу H за $O(n)$ памяти.

Пример семплов

